DOI: 10.14529/chem250302

СИНТЕЗ И СТРОЕНИЕ БРОМИДА БИС[(3-ТРИФТОРМЕТИЛ)ФЕНИЛ)]ВИСМУТА

В.С. Сенчурин[™], М.Д. Кузовлев

Южно-Уральский государственный университет, Челябинск, Россия В senchurinvs @susu.ru

> Аннотация. Взаимодействием (3-трифторметил)фенилмагнийбромида с треххлористым висмутом в диэтиловом эфире получен *mpuc*[(3-трифторметил)фенил]висмут. Обработка трис[(3-трифторметил)фенил]висмута бромистоводородной кислотой в мягких условиях (эфир, 20 °C, 24 ч) приводит к образованию бромида бис[(3-трифторметил)фенил]висмута (1) . По данным РСА кристаллы 1 представляют собой координационный полимер [С₁₄H₈BiBrF₆, *M* 579,09, сингония моноклинная, группа симметрии $P2_1/c$, параметры ячейки: a = 9.80642(7), b = 8.95563(6), c = 18.60999(13) Å, $\alpha = 90.00^{\circ}$, $\beta = 102.0811(7)^{\circ}$, $\gamma = 90.00^{\circ}$, V = 1598.183(19) Å³, Z = 4, $\rho_{\text{выч}} = 2,407 \text{ г/см}^3$, размер кристалла $0,1 \times 0,07 \times 0,05 \text{ мм}$, $2\theta 9,222 - 139,97 \text{ град.}$, диапазон индексов $-11 \le h \le 11$, $-10 \le k \le 10$, $-22 \le l \le 22$, всего отражений 25622, независимых отражений 3026, число уточняемых параметров 209, $R_{\text{int}} = 0.0445$, GOOF 1,084, $R_1 = 0.0193$, $wR_2 = 0.0485$, остаточная электронная плотность (max/min): 1,11/-1,04 e/Å³], в котором тригональнобипирамидальные молекулы Аг₂ВіВг связаны между собой мостиковыми атомами брома формируя 1D полимерные цепи, ориентированные вдоль кристаллографической оси b. В экваториальной плоскости при центральном атоме металла располагаются два арильных лиганда (СВіС 95,16(13)°) и свободная электронная пара. Длины связей Bi-C составляют 2,246(4) и 2,249(3) Å; валентные углы BrBiC равны 84,99(9)°-92,20(10)°. Атомы фтора не формируют водородные связи Н···F, однако в 1 наблюдается межмолекулярный контакт F···Bi (3,462 Å), что меньше суммы ван-дер-ваальсовых радиусов атомов фтора и висмута (3,54 Å). Полные таблицы координат атомов, длин связей и валентных углов для структур депонированы в Кембриджском банке структурных данных (№ 2449619, deposit@ccdc.cam.ac.uk; http://www.ccdc. cam.ac.uk).

> **Ключевые** слова: mpuc[(3-трифторметил)фенил]висмут, бромид <math>fuc[(3-трифторметил)фенил]висмута, бромистоводородная кислота, синтез, строение, рентгеноструктурный анализ

Для цитирования: Сенчурин В.С., Кузовлев М.Д. Синтез и строение бромида buc [(3-трифторметил)фенил)]висмута // Вестник ЮУрГУ. Серия «Химия». 2025. Т. 17, № 3. С. 41–46. DOI: 10.14529/chem250302

Original article

DOI: 10.14529/chem250302

SYNTHESIS AND STRUCTURE OF BIS[(3-TRIFLUOROMETHYL)PHENYL]BISMUTH BROMIDE

V.S. Senchurin[™], M.D. Kuzovlev

Abstract. Tris[(3-trifluoromethyl)phenyl]bismuth was synthesized by the interaction of (3-trifluoromethyl)phenylmagnesium bromide with bismuth trichloride in diethyl ether. Treatment of tris[(3-trifluoromethyl)phenyl]bismuth with hydrobromic acid under mild conditions (ether, 20°C, 24 h) led to formation of bis[(3-trifluoromethyl)phenyl]bismuth bromide (1). According to X-ray diffraction data, crystals of 1 are a coordination polymer [C₁₄H₈BiBrF₆, M 579.09, monoclinic syngony, symmetry group P2₁/c, cell parameters: a = 9.80642(7), b = 8.95563(6), c = 18.60999(13) Å, $\alpha = 90.00^{\circ}$, $\beta = 1.000^{\circ}$

[©] Сенчурин В.С., Кузовлев М.Д., 2025.

 $102.0811(7)^{\circ}$, $\gamma = 90.00^{\circ}$, $V = 1598.183(19) \text{ Å}^3$, Z = 4, $\rho_{\text{cal}} = 2.407 \text{ g/cm}^3$, crystal size $0.1 \times 0.07 \times 0.05$ mm, 2θ 9.222–139.97°, index range $-11 \le h \le 11$, $-10 \le k \le 10$, $-22 \le l \le 22$, total reflections 25622, independent reflections 3026, number of refined parameters 209, R_{int} = 0.0445, GOOF 1.084, $R_1 = 0.0193$, $wR_2 = 0.0485$, residual electron density (max/min): 1.11/-1.04 e/Å³], in which the Ar₂BiBr trigonal bipyramidal molecules are linked to each other by bridging bromine atoms, forming 1D polymer chains oriented along the crystallographic b axis. In the equatorial plane at the central metal atom there are two aryl ligands (CBiC 95.16(13)°) and a lone electron pair. The Bi-C bond lengths are 2.246(4) and 2.249(3) Å; the BrBiC bond angles are 84.99(9)-92.20(10)°. Fluorine atoms do not form any H···F hydrogen bonds, however, in 1 the F···Bi intermolecular contact is observed (3.462 Å), which is less than the sum of the Van der Waals radii of fluorine and bismuth atoms (3.54 Å). Complete tables of atomic coordinates, bond lengths, and valence angles for the structures have been deposited with the Cambridge Crystallographic Data Centre 2449619, deposit@ccdc.cam.ac.uk; (No. http://www.ccdc.cam.ac.uk).

Keywords: tris[(3-trifluoromethyl)phenyl]bismuth, bis[(3-trifluoromethyl)phenyl]bismuth bromide, hydrobromic acid, synthesis, structure, X-ray diffraction analysis

For citation: Senchurin V.S., Kuzovlev M.D. Synthesis and structure of *bis*[(3-trifluoromethyl)phenyl]bismuth bromide. *Bulletin of the South Ural State University. Ser. Chem.* 2025;17(3):41–46. (In Russ.) DOI: 10.14529/chem250302

Введение

Благодаря своим физическим и химическим свойствам соединения трехвалентного висмута широко используют в лечении ряда желудочно-кишечных и кожных заболеваний, а также бактериальных инфекций [1–5]. В 2024 году вышел обзор [6], в котором подробно рассмотрены различные фармакотоксикологические свойства соединений висмута.

Соединения трехвалентного висмута находят также применение в качестве катализаторов полимеризационных процессов. Наилучшие результаты достигнуты при использовании бромида и этоксида дифенилвисмута в реакциях получения сверхвысокомолекулярных полилактидов, капрона, поликарбонатов и полигликолидов, в том числе и с узким индексом полидисперсности [7–13].

Арильные производные трехвалентного висмута типа Ar_2BiX и $ArBiX_2$, где X – электроотрицательный лиганд получают реакцией деарилирования триарилвисмута различными кислотами HX [14–17]. Альтернативный способ – реакция перераспределения лигандов между триарилвисмутом и BiX_3 в различных мольных соотношениях. Именно так, взаимодействием mpuc[(4-трифторметил)фенил]висмута с хлоридом или бромидом висмута (III), ранее были получены хлорид fuc[(4-трифторметил)фенил]висмута и дибромид (4-трифторметил)фенилвисмута [18].

В настоящей работе изучена реакция *mpuc*[(3-трифторметил)фенил]висмута с бромистоводородной кислотой в эфире.

Экспериментальная часть

Синтез бромида buc [(3-трифторметил)фенил]висмута (1) осуществляли путем прибавления к эфирному раствору mpuc (3-трифторметилфенил)висмута небольшого избытка водного раствора бромистоводородной кислоты. После медленного испарения растворителя твердый остаток перекристаллизовывали из смеси бензол/ uso -октан (5:1 объемн.). Получили бесцветные кристаллы, структура которых установлена методом рентгеноструктурного анализа (PCA).

 $(3-CF_3C_6H_4)_2$ ВіВг. Выход 64 %, т. пл. 125 °C. ИК-спектр (v, см⁻¹): 3049, 1720, 1593, 1416, 1319, 1269, 1184, 1167, 1128, 1094, 1080, 1053, 995, 927, 897, 795, 698, 677, 640, 496, 420.

ИК-спектр соединения **1** записывали на ИК-спектрометре Shimadzu IRAffinity-1S в таблетке КВг в области 4000-400 см⁻¹.

Рентгеноструктурный анализ проводили на автоматическом четырехкружном дифрактометре Bruker D8 QUEST (Мо К $_{\alpha}$ -излучение, $\lambda = 0.71073$ Å, графитовый монохроматор). Сбор, редактирование данных и уточнение параметров элементарной ячейки, а также учет поглощения проведены по программам *SMART* и *SAINT-Plus* [19]. Все расчеты по определению и уточнению структуры выполнены по программам *SHELXL/PC* [20] и *OLEX2* [21]. Структуры определены прямым методом и уточнены методом наименьших квадратов в анизотропном приближении для

неводородных атомов. Кристаллографические данные и результаты уточнения структуры приведены в табл. 1.

Таблица 1 Кристаллографические данные, параметры эксперимента и уточнения структуры 1

Параметр	1	
Стехиометрическая формула	$C_{14}H_8BiBrF_6$	
М М	579,09	
Сингония	Моноклинная	
Пространственная группа	P2 ₁ /c	
a, Å	9,80642(7)	
<i>b</i> , Å	8,95563(6)	
c, Å	18,60999(13)	
α, град.	90,00	
β, град.	102,0811(7)	
	90,00	
γ , град. V , Å 3 Z	1598,183(19)	
7	4	
ρ _{выч} , г/см ³	2,407	
р _{выч} , 1/см	25,116	
μ, мм ⁻¹ F(000)	1056,0	
Размер кристалла, мм	0,1×0,07×0,05	
Диапазон сбора данных по 20, град.	9,222–139,97	
Диапазон индексов	$-11 \le h \le 11, -10 \le k \le 10, -22 \le l \le 22$	
Число измеренных рефлексов	25622	
Чисто независимых рефлексов	3026	
R_{int}	0,0445	
GOOF	1,084	
Число параметров	209	
R -факторы по $I > 2\sigma(I)$	$R_1 = 0.0193, wR_2 = 0.0482$	
<i>R</i> -факторы по всем рефлексам	$R_1 = 0.0197, wR_2 = 0.0485$	
Остаточная электронная плотность (max/min), e/A ³	1,11/–1,04	

Таблица 2 Длины связей и валентные углы в структуре 1

Связь <i>d</i> , Å		$ У$ гол ω , град	
Bi(1)–C(1)	2,249(3)	$Br(1)Bi(1)Br(1^1)$	173,100(6)
Bi(1)–C(11)	2,246(4)	C(1)Bi(1)C(11)	95,16(13)
Bi(1)–Br(1)	2,8478(4)	C(1)Bi(1)Br(1)	88,34(9)
Bi(1)–Br(1 ¹)	2,9201(4)	$C(1)Bi(1)Br(1^1)$	84,99(9)
Преобразования симметрии:		C(11)Bi(1)Br(1)	86,64(9)
¹ 1-x, -1/2+y, 3/2-z		$C(11)Bi(1)Br(1^1)$	92,20(10)

Полные таблицы координат атомов, длин связей и валентных углов соединения **1** депонированы в Кембриджском банке структурных данных (CCDC 2449619; deposit@ccdc.cam.ac.uk; http://www.ccdc.cam.ac.uk).

Обсуждение результатов

По известной методике [22], взаимодействием (3-трифторметил)фенилмагнийбромида с треххлористым висмутом в диэтиловом эфире нами был получен *mpuc*[(3-трифторметил)фенил]висмут:

$$3 (3-CF_3C_6H_4)MgBr + BiCl_3 \longrightarrow (3-CF_3C_6H_4)_3Bi + 3 MgClBr$$

Найдено, что деарилирование mpuc[(3-трифторметил)фенил]висмута бромистоводородной кислотой в мягких условиях (эфир, 20 °C) приводит к образованию бромида $\mathit{fuc}[(3$ -трифторметил)фенил]висмута (1) (рис. 1).

$$(3-CF_3C_6H_4)_3Bi + HBr \xrightarrow{Et_2O} (3-CF_3C_6H_4)_2BiBr + CF_3C_6H_5$$

$$F(3) \qquad F(1)$$

$$C(3) \qquad C(4)$$

$$C(4) \qquad C(5)$$

$$C(17) \qquad F(5) \qquad C(12) \qquad Bi(1)$$

$$C(14) \qquad C(11) \qquad C(14)$$

$$C(15) \qquad C(16) \qquad Br(1)$$

Рис. 1. Строение бромида бис[(3-трифторметил)фенил]висмута (1)

По данным PCA, молекулы **1** связаны между собой посредством мостиковых атомов брома формируя 1D-полимерные цепи, ориентированные вдоль кристаллографической оси b (рис. 2).

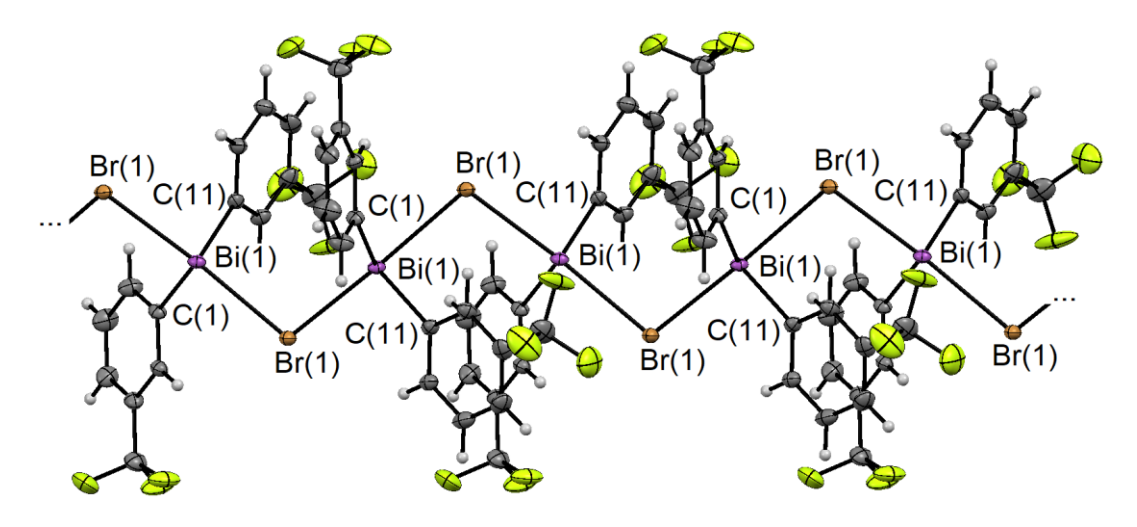


Рис. 2. Фрагмент полимерной цепи бромида *бис*[(3-трифторметил)фенил]висмута (1). Проекция вдоль кристаллографической оси *b*.

Длины связей Bi–Br (2,8478(4) и 2,9201(4) Å) незначительно отличаются друг от друга, превышают сумму ковалентных радиусов атомов висмута и брома (2,68 Å) [23], но значительно меньше суммы их ван-дер-ваальсовых радиусов (3,9 Å) [24].

Геометрические параметры **1** очень близки в сравнении с ранее полученным иодидом δuc [(3-трифторметил)фенил]висмута [25]. Так, аксиальные углы HalBiHal составляют 173,1° для бромида **1** и 174,7° для иодида. Совпадают углы CBiC (95,16(13)° (**1**) и 95,1(16)° для иодида) располагающихся в экваториальной плоскости при центральном атоме висмута арильных лигандов. Однако связи Bi-C в **1** (2,246(4) и 2,249(3) Å) длиннее чем в иодиде δuc [(3-трифторметил)фенил]висмута (2,215(13) и 2,234(14) Å).

Атомы фтора не образуют водородных связей $H\cdots F$, однако атом фтора одного из трифторметильных заместителей входит в координационную сферу атома висмута параллельно расположенной 1D-цепи (рис. 3). Расстояние $Bi(1)\cdots F(3)$ (3,462 Å) меньше суммы ван-дер-ваальсовых радиусов атомов висмута и фтора (3,54 Å) [24]. Отметим, что для иодида $\mathit{fuc}[(3-\mathsf{трифторметил})$ фенил]висмута подобных контактов не наблюдается.

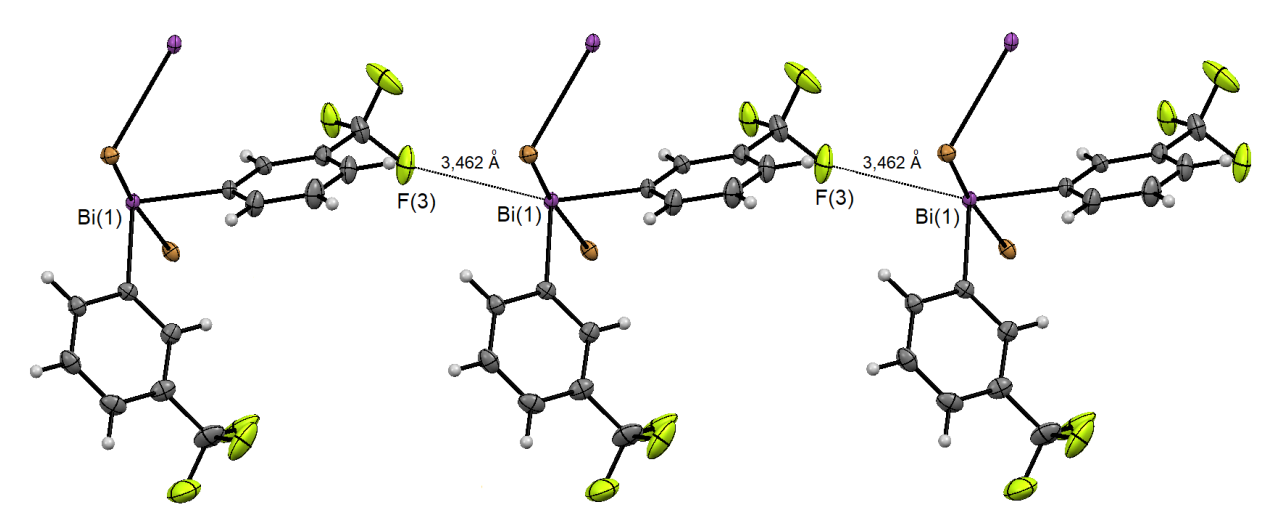


Рис. 3. Межмолекулярные контакты Bi(1)···F(3) в 1. Проекция вдоль кристаллографической оси а

ИК-спектры соединения 1 и иодида $\mathit{buc}[(3\text{-трифторметил})$ фенил]висмута практически полностью идентичны. Полоса средней интенсивности при $3049~\mathrm{cm}^{-1}$, относится к валентным колебаниям связей H–C(Ar). Сильные полосы поглощения при $1319~\mathrm{u}~1184~\mathrm{cm}^{-1}$, отвечают валентным колебаниям фрагмента CF_3 -Ar, а полоса средней интенсивности при $420~\mathrm{cm}^{-1}$ связи Bi–C [26].

Выводы

Таким образом, деарилированием mpuc(3-трифторметилфенил)висмута водным раствором бромистоводородной кислоты в эфире с выходом 64% получен бромид fuc[(3-трифторметил)фенил]висмута (1), который был идентифицирован методами ИК-спектроскопии и рентгеноструктурного анализа. По данным PCA, молекулы связаны между собой мостиковыми атомами брома формируя 1D-полимерные цепи, ориентированные вдоль кристаллографической оси f.

Список источников

- 1. Brogan A.P., Verghese J., Widger W.R. et al. // J. Inorg. Biochem. 2005. V. 99. P. 841. DOI: 10.1016/j.jinorgbio.2004.12.019
- 2. *Yang N.*, *Sun H.* // Chem. Rev. 2007. V. 251, No 17–20. P. 2354. DOI: 10.1016/j.ccr.2007.03.003
- 3. *Nday C.M.*, *Halevas E.*, *Tsiaprazi-Stamou A. et al.* // J. Inorg. Biochem. 2017. V. 170. P. 98. DOI: 10.1016/j.jinorgbio.2017.02.007
- 4. *Kotani T., Nagai D., Asahi K. et al.* // Antimicrob. Agents Chemother. 2005. V. 49. P. 2729. DOI: 10.1128/AAC.49.7.2729-2734.2005
- 5. Wang Z., Huang Y., Deng D. // Org. Biomol. Chem. 2024. V. 22. P. 7164. DOI: 10.1039/D4OB00702F

- 6. *Gonçalves Â.*, *Matias M.*, *Salvador J.A.R. et al.* // Int. J. Mol. Sci. 2024. V. 25. P. 1600. DOI: 10.3390/ijms25031600
- 7. *Kricheldorf H.R.*, *Behnken G.*, *Schwarz G.* // J. Polym. Sci., Part A: Polym. Chem. 2008. V. 46, No. 3. P. 851. DOI: 10.1002/pola.22429
- 8. Kricheldorf H.R., Behnken G. // J. Macromol. Sci. Part A Pure Appl. Chem. 2008. V. 45, No. 9. P. 693.
 - 9. Kricheldorf H.R. // Chem. Rev. 2009. V. 109, No. 11. P. 5579.
- 10. *Kricheldorf H.R.*, *Behnken G.*, *Schwarz G. et al.* // J. of Macromolecular Science, Part A. 2009. V. 46, No. 4. P. 353. DOI: 10.1080/10601320902724800
- 11. *Benjamin S.L., Karagiannidis L., Levason W. //* Organometallics. 2011. V. 30, No. 4. P. 895. DOI: 10.1021/om1010148
- 12. Lu Y., Schmidt C., Beuermann S. // Macromol. Chem. Phys. 2015. V. 216, No. 4. P. 395. DOI: 10.1002/macp.201400474
- 13. *Li F.*, *Rastogi S.*, *Romano D.* // Journal of Catalysis. 2022. V. 415. P. 123. DOI: 10.1016/j.jcat.2022.09.015
- 14. *Кочешков К.А., Сколдинов А.П., Землянский Н.Н.* Методы элементоорганической химии // Сурьма, висмут. М.: Наука, 1976. 483 с.
- 15. Егорова И.В. Арильные соединения висмута. Синтез, строение, применение: дис. ... д-ра хим. наук: 02.00.08. Нижегородский государственный университет. Нижний Новгород. 1998. 282 с.
- 16. *Шарутин В.В., Поддельский А.И., Шарутина О.К.* // Коорд. химия. 2021. Т. 47, № 12. С. 719. DOI: 10.31857/S0132344X21120021
- 17. *Шарутин В.В., Сенчурин В.С.* // Вестник ЮУрГУ. Серия «Химия». 2025. Т. 17, № 1. С. 160. DOI: 10.14529/chem250115
- 18. *Kirij N. V., Pasenok S. V., Yagupolskii Yu. L. et al.* // J. Fluor. Chem. 1994. V. 69, No 3. P. 219. DOI: 10.1016/0022-1139(94)03134-7
- 19. Bruker. SMART and SAINT-Plus. Versions 5.0. Data Collection and processing software for the SMART system. Bruker AXS Inc., Madison, Wisconsin, USA, 1998.43.
- 20. Bruker. SHELXTL/PC. Versions 5.10. An integrated system for solving, refining and displaying crystal structures from diffraction data. Bruker AXS Inc., Madison, Wisconsin, USA, 1998.
- 21. *Dolomanov O.V.*, *Bourhis L.J.*, *Gildea R.J. et al.* // J. Appl. Cryst. 2009. V. 42. P. 339. DOI: 10.1107/S0021889808042726
- 22. Banfi A., Bartoletti M., Bellora E. et al. // Synthesis. 1994. V. 8. P. 775. DOI: 10.1055/s-1994-25569
- 23. Cordero B., Gómez V., Platero-Prats A.E. et al. // Dalton Trans. 2008. V. 21. P. 2832. DOI: 10.1039/B801115J
- 24. *Mantina M., Chamberlin A.C., Valero R. et al.* // J. Phys. Chem. A. 2009. V. 113, No. 19. P. 5806. DOI: 10.1021/jp8111556
- 25. *Шарутин В.В., Сенчурин В.С.* // Вестник ЮУрГУ. Серия «Химия». 2024. Т. 16, № 4. С. 69. DOI: 10.14529/chem240405
- 26. *Тарасевич Б.Н.* ИК-спектры основных классов органических соединений / Б.Н. Тарасевич. М.: МГУ, 2012. 54 с.

Сенчурин Владислав Станиславович – доктор химических наук, доцент, профессор кафедры теоретической и прикладной химии, Южно-Уральский государственный университет, Челябинск, Россия. E-mail: senchurinvs@susu.ru

Кузовлев Михаил Дмитриевич — бакалавр кафедры теоретической и прикладной химии, Южно-Уральский государственный университет, Челябинск, Россия. E-mail: kuzovlev-02@mail.ru

Статья поступила в редакцию 2 мая 2025 г. The article was submitted 2 May 2025.